

Лекции 5-6. Магнитные явления.

Вектор индукции магнитного поля. Закон Био-Савара. Принцип суперпозиции магнитных полей. Поле прямого и кругового токов. Теорема о циркуляции вектора индукции магнитного поля в интегральной и дифференциальной форме. (Расчёт магнитного поля тороида и соленоида).

Намагниченность вещества. Вектор напряжённости магнитного поля и его связь с векторами индукции и намагниченности. Магнитная восприимчивость и магнитная проницаемость вещества. Диамагнетики, парамагнетики, ферромагнетики.

Опыт показывает, что электрические токи взаимодействуют между собой. Сила взаимодействия (на единицу длины) двух прямолинейных тонких параллельных проводников с токами I_1 и I_2 , расстояние между которыми равно b , дается законом Ампера

$$F_l = \frac{F}{l} = k \frac{I_1 I_2}{b}.$$

Одинаково направленные токи притягиваются, противоположно направленные – отталкиваются. Константа в вакууме имеет вид $k = \frac{\mu_0}{2\pi}$, где $\mu_0 = 4\pi \cdot 10^{-7}$ Гн/м (Генри/метр) – магнитная постоянная.

Замечание. Магнитная постоянная и диэлектрическая постоянная «входят» в полезное соотношение $\frac{1}{\epsilon_0 \mu_0} = c^2$, где $c \approx 3 \cdot 10^8$ - скорость света в вакууме.

Замечание. Закон Ампера связывает механическое понятие силы с единицами измерения силы тока и электрического заряда.

По современным представлениям токи взаимодействуют между собой посредством промежуточной среды, которая называется *магнитное поле*.

Магнитное поле характеризуется вектором магнитной индукции \vec{B} . Величина индукции измеряется в Теслах (Тл). *Силовой* линией магнитного поля называется линия в пространстве, касательная к которой в каждой точке направлена как вектор \vec{B} .

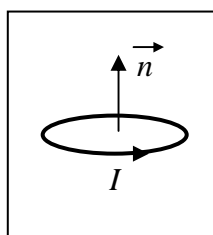
Магнитное поле проявляется в действии на *движущиеся* заряды (токи). *На покоящиеся заряды магнитное поле не действует.*

Магнитное поле не имеет источников - оно создается только движущимися зарядами (электрическим током), поэтому силовые линии магнитного поля являются **замкнутыми линиями**.

Принцип суперпозиции для магнитного поля: вектор индукции магнитного поля, создаваемого системой движущихся электрических зарядов (электрических токов), равен векторной

сумме индукций магнитных полей, создаваемых каждым из движущихся электрических зарядов (токов) в отдельности:

$$\vec{B}_{\Sigma} = \sum_i \vec{B}_i.$$



Аналогом пробного заряда для магнитного поля является *пробный контур* с током очень маленьких размеров. Этот контур является ориентированным – направление нормали \vec{n} к площадке контура согласовано с направлением тока в нём правилом буравчика (правого винта). Опыт показывает, что на пробный контур действует вращающий момент сил, зависящий от угла между вектором

индукции магнитного поля и вектором нормали к площадке контура, а также от силы тока и величины площади. Максимальное значение момента даётся выражением $M_{MAX} = ISB$. Поэтому величину индукции магнитного поля в данной точке определяют как

$$B = \frac{M_{MAX}}{IS}.$$

Определение. Магнитным моментом контура (с постоянным) током называется векторная величина

$$\vec{p}_m = I \cdot S \cdot \vec{n}.$$

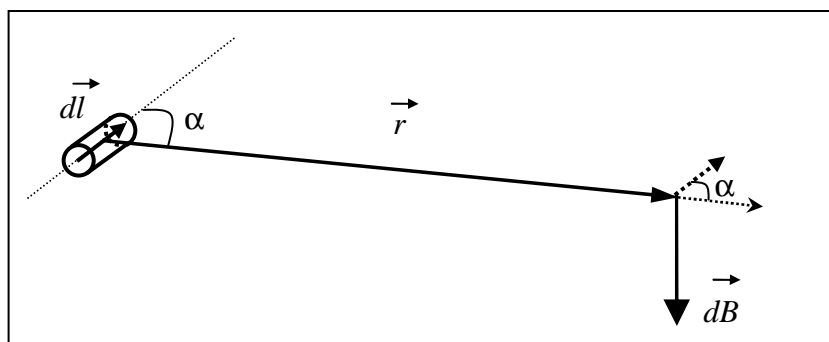
S - величина площадки, ограниченной контуром, I – сила тока. Контур является ориентированным – направление нормали к площадке контура согласовано с направлением тока в нём правилом буравчика (правого винта). Единица измерения магнитного момента $A \cdot m^2$ (Ампер·м²).

Закон Био-Савара-Лапласа.

Опыт показывает, что магнитная индукция, создаваемая малым участком проводника с током I , определяется законом Био-Савара-Лапласа:

$$d\vec{B} = \frac{\mu_0}{4\pi} \frac{I(d\vec{l} \times \vec{r})}{r^3}.$$

Величина вектора $dB = \frac{\mu_0}{4\pi} \frac{Idl}{r^2} \sin \alpha$. Здесь $d\vec{l}$ – касательный вектор к линии тока, направленный



в положительном направлении для тока, (dl – длина малого проводника), I – сила тока в про-

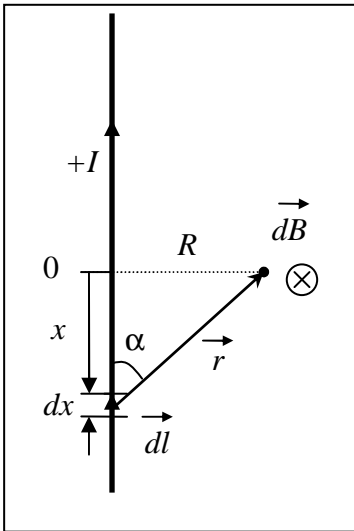
воднике, \vec{r} - вектор, проведенный от малого проводника в точку, где ищется вектор индукции магнитного поля, α - угол между векторами $d\vec{l}$ и \vec{r} . Векторы $(d\vec{l}, \vec{r}, d\vec{B})$ образуют правую тройку векторов.

1) Рассмотрим магнитное поле, создаваемое длинным тонким прямым проводом, по которому течет постоянный ток силой I .

Найдем величину и направление вектора магнитной индукции в точке, находящейся на расстоянии R от провода. Применим принцип суперпозиции

$$\vec{B} = \sum_{d\vec{l}} d\vec{B}_{d\vec{l}},$$

где $d\vec{B}_{d\vec{l}} = \frac{\mu_0}{4\pi} \frac{I(d\vec{l} \times \vec{r})}{r^3}$ - вектор магнитной индукции, создаваемый элементом $d\vec{l}$.



Векторы $d\vec{B}$ от всех $d\vec{l}$ в выбранной точке направлены одинаково (перпендикулярно плоскости, образованной векторами $(d\vec{l}, \vec{r})$), поэтому можно перейти от векторной суммы к сумме величин

$$B = \sum_{d\vec{l}} dB_{d\vec{l}}, \text{ где } dB_{d\vec{l}} = \frac{\mu_0}{4\pi} \frac{Idl \sin \alpha}{r^2}$$

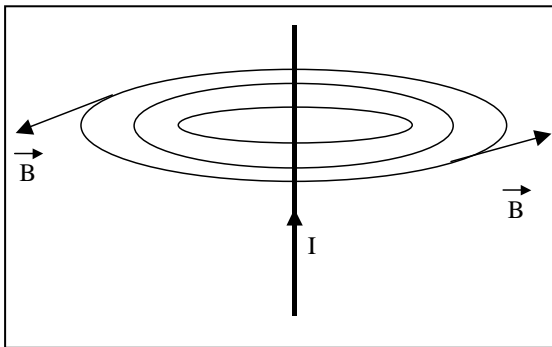
Ведём координату x , отсчитываемую от точки пересечения провода и перпендикулярного отрезка к проводу, восстановленного из точки наблюдения. Тогда $r = \sqrt{x^2 + R^2}$, $r \sin \alpha = R$, $dx = dl$, поэтому

$$B = \int_{-\infty}^{+\infty} \frac{\mu_0}{4\pi} \frac{IRdx}{r^3} = \frac{\mu_0 IR}{4\pi} \int_{-\infty}^{+\infty} \frac{dx}{(R^2 + x^2)^{3/2}}.$$

Но $\int_{-\infty}^{+\infty} \frac{dx}{(R^2 + x^2)^{3/2}} = \frac{2}{R^2}$ (см. лекцию № 1).

Окончательно, величина индукции магнитного поля на расстоянии R от тонкого, длинного прямого провода с постоянным током, определяется соотношением

$$B = \frac{\mu_0 I}{2\pi R}$$

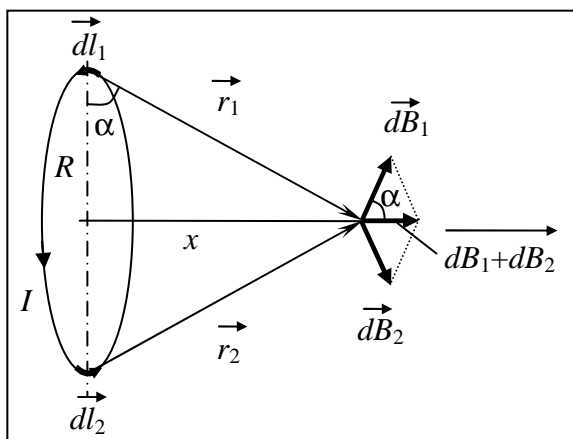


Силловые линии магнитного поля, создаваемого током в бесконечно длинном прямом проводнике, представляют собой окружности, лежащие в плоскости, перпендикулярной проводу, и с центром на оси про-

вода. Направление вектора \vec{B} определяется по правилу правого винта. (Или *правой руки*: если

обхватить правой рукой провод так, чтобы большой палец был направлен по току, то остальные пальцы покажут направление «закрученности» \vec{B} .)

2) Рассмотрим магнитное поле, создаваемое круговым контуром с постоянным током на оси контура.



По контуру течёт ток силой I , радиус контура R . Найдём величину индукции магнитного поля в точке, находящейся на расстоянии x от плоскости контура вдоль оси.

Любые два элемента $d\vec{l}_1$ и $d\vec{l}_2$, расположенные симметрично относительно центра контура, создают в точке наблюдения два симметричных относительно оси вектора $d\vec{B}_1$ и $d\vec{B}_2$. Сумма этих векторов лежит на оси контура. Поэтому при нахождении суперпозиции

надо учитывать только проекцию векторов на ось

$$B = \sum_{d\vec{l}} dB_{d\vec{l}} \cos \alpha.$$

Т.к. образующая конуса перпендикулярна касательной к основанию, то угол между векторами $d\vec{l}$ и \vec{r} - прямой, поэтому

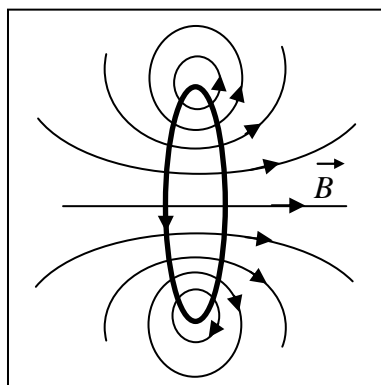
$$dB_{d\vec{l}} = \frac{\mu_0 I dl}{4\pi r^2}.$$

Для всех элементов $d\vec{l}$ величины $r = \sqrt{R^2 + x^2}$ и $\cos \alpha = \frac{R}{\sqrt{R^2 + x^2}}$ одинаковые. Следовательно,

$$B = \sum_{d\vec{l}} dB_{d\vec{l}} \cos \alpha = \sum_{d\vec{l}} \frac{\mu_0 I dl}{4\pi r^2} \cos \alpha = \frac{\mu_0 I}{4\pi r^2} \cos \alpha \sum_{d\vec{l}} dl = \frac{\mu_0 I}{4\pi r^2} \cos \alpha 2\pi R$$

или

$$B = \frac{\mu_0}{2} \frac{IR^2}{(R^2 + x^2)^{3/2}}.$$



С учётом определения магнитного момента контура $\vec{p}_m = IS\vec{n}$ и величины площади круга $S = \pi R^2$, можно записать эту формулу в виде

$$\vec{B} = \frac{\mu_0}{2\pi} \frac{I\pi R^2 \vec{n}}{(R^2 + x^2)^{3/2}} = \frac{\mu_0}{2\pi} \frac{\vec{p}_m}{(R^2 + x^2)^{3/2}}.$$

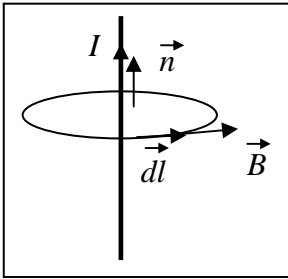
Замечание. Картина силовых линий магнитного поля кольца обладает осевой симметрией, поэтому вектор индукции в каждой точке *плоскости кольца* направлен перпендикулярно этой плоскости. Кроме того, в каждой точке поля вектор \vec{B} лежит в плоскости, проходящей через ось кольца (продольной плоскости).

Теорема о циркуляции вектора магнитной индукции.

Так как силовые линии магнитного поля замкнутые, то это поле является *вихревым*, т.е. $\text{rot}(\vec{B}) \neq \vec{0}$, поэтому циркуляция этого векторного поля вдоль любого контура Γ не равна нулю

$$\oint_{\Gamma} (\vec{B}, d\vec{l}) = \iint_S (\text{rot}(\vec{B}), d\vec{S}) \neq 0.$$

Пример. Найдем циркуляцию вектора магнитной индукции поля, создаваемого прямым проводом с током. В качестве контура Γ возьмём какую-нибудь силовую ли-



нию (представляющую собой, как нам уже известно, окружность с центром на оси провода и лежащую в плоскости, перпендикулярной к проводу). Пусть радиус этой линии равен R , тогда величина магнитной индукции на этой линии постоянна и равна $B = \frac{\mu_0 I}{2\pi R}$. Выберем ориента-

цию на контуре Γ так, чтобы векторы $d\vec{l}$ и \vec{B} были направлены одинаково. (В этом случае нормаль \vec{n} к кругу, ограниченному контуром, и направление тока совпадают.) Тогда

$$\oint_{\Gamma} (\vec{B}, d\vec{l}) = \oint_{\Gamma} B \cos(0^\circ) dl = \oint_{\Gamma} B dl = B \oint_{\Gamma} dl = B 2\pi R = \frac{\mu_0 I}{2\pi R} 2\pi R = \mu_0 I.$$

Выберем ориентацию на силовой линии так, чтобы векторы \vec{B} и $d\vec{l}$ были направлены противоположно, (при этом нормаль \vec{n} к кругу, ограниченному контуром, и направление тока тоже будут направлены противоположно). В этом случае

$$\oint_{\Gamma} (\vec{B}, d\vec{l}) = \oint_{\Gamma} B \cos(180^\circ) dl = -\oint_{\Gamma} B dl = -B \oint_{\Gamma} dl = -B 2\pi R = -\frac{\mu_0 I}{2\pi R} 2\pi R = -\mu_0 I. \clubsuit$$

Этот результат не является случайным, его можно обобщить в виде теоремы о циркуляции вектора индукции магнитного поля.

Циркуляция вектора индукции магнитного поля по любому ориентированному замкнутому контуру пропорциональна алгебраической сумме токов, пронизывающих ориентированную площадку, ограниченную контуром. Ориентация контура и площадки согласованы правилом правого винта. Коэффициент пропорциональности – магнитная постоянная.

$$\oint_{\Gamma} (\vec{B}, d\vec{l}) = \mu_0 \sum_k I_k$$

Сила тока берётся со знаком плюс, если угол между направлением тока и направлением нормали к площадке меньше 90 градусов, и минус если больше.

Если ввести векторное поле плотности тока \vec{j} так, чтобы $\sum_k I_k = \iint_S (\vec{j}, d\vec{S})$, то используя

теорему Стокса

$$\oint_{\Gamma} (\vec{B}, d\vec{l}) = \iint_S (\text{rot}(\vec{B}), d\vec{S}) = \mu_0 \iint_S (\vec{j}, d\vec{S}),$$

получаем *дифференциальную форму* записи теоремы о циркуляции вектора магнитной индукции

$$\text{rot}(\vec{B}) = \mu_0 \vec{j}.$$

Замечание. Хотя магнитное поле и является вихревым, но отсюда не следует, что циркуляция вектора индукции всегда отлична от нуля. Например, если контур Γ охватывает два одинаковых по силе тока, но пронизывающих площадку в разных направлениях, то для них

$$\oint_{\Gamma} (\vec{B}, d\vec{l}) = \mu_0 (I_1 - I_2) = 0, \text{ но } \text{rot}\vec{B} \neq \vec{0}.$$

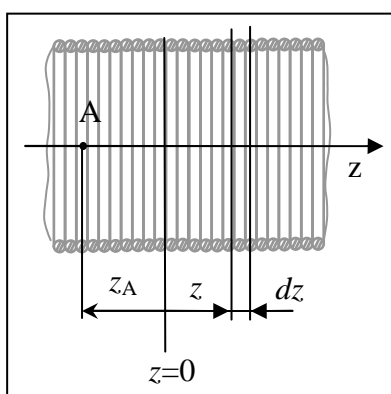
Идеальным соленоидом называется бесконечный тонкий проводник, намотанный на поверхность бесконечного кругового цилиндра так, что при этом круговые витки проводника перпендикулярны оси цилиндра.

Замечание. В таком соленоиде нет составляющей электрического тока, направленной вдоль оси цилиндра, а только круговые токи в каждом из поперечных сечений. Поэтому можно считать, что соленоид составлен из бесконечного числа одинаковых витков, по которым течет одинаковый по направлению и силе ток.

Плотностью намотки соленоида n называется величина, равная отношению количества витков N на некотором участке соленоида к длине этого участка l : $n = \frac{N}{l}$.

Найдем величину индукции магнитного поля в какой-нибудь точке A на оси соленоида. Пусть сила тока в соленоиде равна I . Радиус витков R . Плотность намотки n .

Для нахождения индукции магнитного поля в этой точке, применим принцип суперпозиции для магнитного поля – вектор индукции равен векторной сумме магнитных индукций, создаваемых каждым из колец в отдельности: $\vec{B}_A = \sum_k \vec{B}_k$. Отметим, что все векторы \vec{B}_k в точке A



направлены одинаково – в одну сторону вдоль оси соленоида.

Поэтому от векторной суммы можно перейти к сумме длин векторов $B_A = \sum_k B_k$.

Введём вдоль оси соленоида ось z . Выделим в соленоиде какое-то сечение, координату которого примем за ноль ($z=0$).

Пусть точка A имеет координату z_A . Небольшая часть соленоида,

длина которой равна dz , и которая находится в сечении с координатой z , содержит количество витков $dN = ndz$. Эта часть создаёт в точке А индукцию магнитного поля, величина которой

$$dB = \frac{\mu_0}{2} \frac{IR^2 dN}{(R^2 + x^2)^{3/2}},$$

где расстояние от точки А до этого сечения равно $x = |z - z_A|$.

Тогда $B_A = \sum_k B_k = \int_{\text{СОЛЕНОИД}} dB = \int_{\text{ВИТКИ СОЛЕНОИДА}} \frac{\mu_0}{2} \frac{IR^2 dN}{(R^2 + x^2)^{3/2}}$ или

$$B_A = \int_{-\infty}^{+\infty} \frac{\mu_0}{2} \frac{IR^2 ndz}{(R^2 + (z - z_A)^2)^{3/2}} = \frac{\mu_0 IR^2 n}{2} \int_{-\infty}^{+\infty} \frac{dz}{(R^2 + (z - z_A)^2)^{3/2}}$$

Делаем замену $y = z - z_A$ и получаем $\int_{-\infty}^{+\infty} \frac{dz}{(R^2 + (z - z_A)^2)^{3/2}} = \int_{-\infty}^{+\infty} \frac{dy}{(R^2 + y^2)^{3/2}} = \frac{2}{R^2}$.

Поэтому величина магнитной индукции на оси идеального соленоида равна

$$B_A = \frac{\mu_0 IR^2 n}{2} \frac{2}{R^2} = \mu_0 In.$$

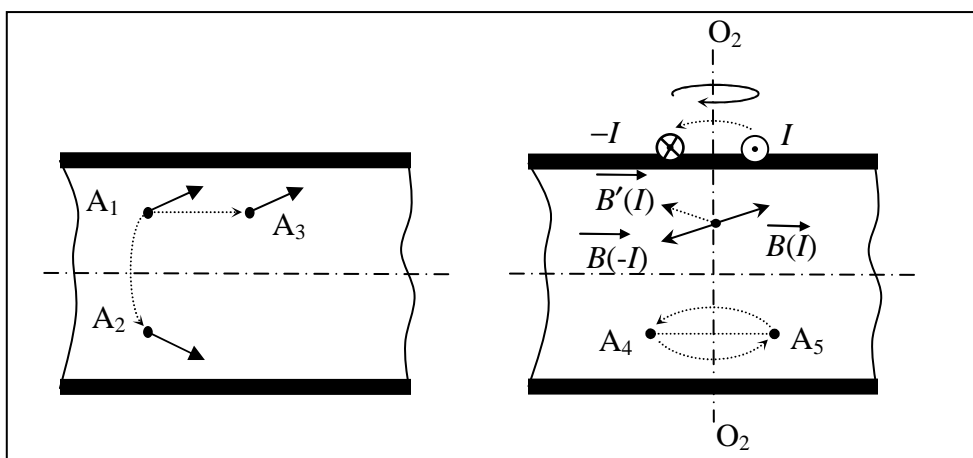
Как видно, она не зависит от радиуса соленоида R .

Обсудим *расположение силовых линий* магнитного поля идеального соленоида (и внутри, и снаружи). Так как магнитное поле идеального соленоида создаётся кольцевыми токами, то вектор индукции в каждой точке поля лежит в продольной плоскости соленоида (любой плоскости, проходящей через ось соленоида).

Докажем, что в произвольных точках A_1, A_2, A_3 , находящихся на равном расстоянии от оси соленоида, вектор индукции \vec{B} одинаковый по величине и направлен под одинаковым углом к оси.

1) Пусть точки A_1 и A_2 находятся в одном поперечном сечении. Так как магнитное поле соленоида обладает осевой симметрией, то поворотом вокруг оси можно перенести точку A_1 в A_2 (и наоборот). Векторы, находящиеся в этих точках должны перейти друг в друга (т.к. они принадлежат одному векторному полю).

2) Пусть точки A_1 и A_3 находятся в одном продольном сечении. Так как магнитное поле соленоида обладает симметрией сдвига вдоль оси соленоида, то сдвигом можно перенести точку A_1 в A_3 (и наоборот). Векторы, находящиеся в этих точках должны перейти друг в друга (т.к. они



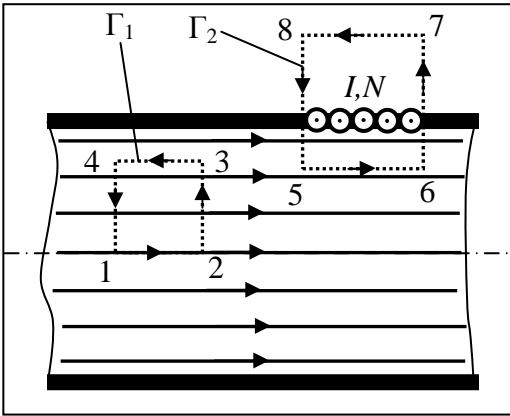
принадлежат одному векторному полю).

Докажем теперь, что вектор индукции магнитного поля соленоида в каждой точке направлен параллельно оси соленоида. Для этого рассмотрим вектор \vec{B} в произвольной точке поля, считая, что он не направлен параллельно оси соленоида. Предположим, что при заданном направлении тока I он направлен как $\vec{B}(I)$. Через рассматриваемую точку можно провести ось симметрии O_1O_2 поля соленоида и подвергнуть поле повороту на 180° вокруг этой оси. При этом какие-то точки A_4 и A_5 , расположенные симметрично относительно этой оси перейдут друг в друга, а вектор $\vec{B}(I)$ перейдет в симметричный вектор $\vec{B}'(I)$, а направление тока I в соленоиде поменяется на противоположное $-I$. Но противоположно направленный ток в соленоиде должен создать в рассматриваемой точке противоположно направленный вектор $\vec{B}(-I)$. Поэтому вектору $\vec{B}(I)$ должен соответствовать вектор $\vec{B}(-I)$, не являющийся ему симметричным. Это противоречие можно избежать только в том случае, когда вектор $\vec{B}(I)$ параллелен оси в любой точке магнитного поля идеального соленоида.

Следовательно, силовые линии магнитного поля внутри и снаружи *параллельны оси соленоида*, а величина индукции зависит только от расстояния до оси соленоида.

Теперь рассмотрим циркуляцию индукции векторного поля по некоторому квадратному контуру Γ_1 , который расположен целиком внутри соленоида так, что одна его сторона лежит на оси. Пусть длина каждой из сторон контура равна L . Тогда

$$\oint_{\Gamma_1} (\vec{B}, d\vec{l}) = \int_{12} (\vec{B}, d\vec{l}) + \int_{23} (\vec{B}, d\vec{l}) + \int_{34} (\vec{B}, d\vec{l}) + \int_{41} (\vec{B}, d\vec{l}) = B_{12}L - B_{34}L = (B_{12} - B_{34})L$$



(вычеркнуты нулевые слагаемые). Но контур не охватывает никакие токи, поэтому $\oint_{\Gamma_1} (\vec{B}, d\vec{l}) = 0$, откуда

$B_{34} = B_{12} = \mu_0 In$. Т.к. величина L является произвольной (но $L < R$), то величина магнитной индукции на любом расстоянии от оси (внутри соленоида) равна величине магнитной индукции на его оси. Таким образом, величина магнитной индукции *внутри* идеального соленоида

постоянная и равна

$$B = \mu_0 \cdot I \cdot n,$$

где I – сила тока, n – плотность намотки витков. Следовательно, *магнитное поле внутри идеального соленоида является однородным.*

Теперь рассмотрим циркуляцию по квадратному контуру Γ_2 , который расположен так, что одна его сторона лежит внутри соленоида параллельно оси, а противоположная - снаружи. Пусть длина каждой из сторон контура равна L . Этот контур охватывает витки, число которых равно N . По виткам текут одинаковые токи в одинаковом направлении, поэтому исходя из ориентации контура и направления токов, получаем

$$\oint_{\Gamma_2} (\vec{B}, d\vec{l}) = \mu_0 NI.$$

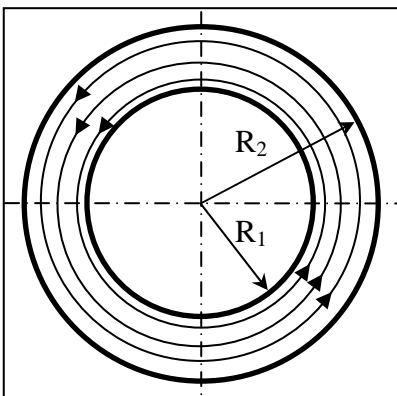
$$\text{Но } \oint_{\Gamma_2} (\vec{B}, d\vec{l}) = \int_{56} (\vec{B}, d\vec{l}) + \int_{67} (\vec{B}, d\vec{l}) + \int_{78} (\vec{B}, d\vec{l}) + \int_{81} (\vec{B}, d\vec{l}) = B_{56}L - B_{78}L = (B_{56} - B_{78})L$$

При этом внутри соленоида $B_{56} = \mu_0 In$. Получаем равенство $(\mu_0 In - B_{78})L = \mu_0 NI$, откуда для

величины магнитной индукции снаружи соленоида $B_{78} = \mu_0 In - \mu_0 \frac{N}{L} I$. Плотность намотки витков, по определению, равна $n = \frac{N}{L}$, поэтому $B_{78} = 0$. *Снаружи идеального соленоида магнитное*

поле отсутствует.

У идеального соленоида магнитное поле сосредоточено только внутри соленоида!



Тороид – это тонкий проводник, плотно намотанный на поверхность тора (бублика).

Магнитное поле тороида обладает осевой симметрией, поэтому силовые линии являются концентрическими окружностями, с центрами на оси тороида. Пусть число витков в тороиде равно N , сила тока I . Рассмотрим циркуляцию вектора индукции

вдоль контура Γ радиуса r ($R_1 < r < R_2$), совпадающего с одной из силовых линий:

$$\oint_{\Gamma} (\vec{B}, d\vec{l}) = \mu_0 NI. \text{ Вдоль } \Gamma \text{ величина } B \text{ постоянная, поэтому}$$

$$\oint_{\Gamma} (\vec{B}, d\vec{l}) = \oint_{\Gamma} B dl = B \oint_{\Gamma} dl = B \cdot 2\pi r = \mu_0 NI, \text{ откуда внутри тороида } B = \frac{\mu_0 NI}{2\pi r}. \text{ Предположим, что}$$

диаметр сечения тороидальной части много меньше внутреннего радиуса $d = R_2 - R_1 \ll R_1$. Если

ввести плотность намотки на внутреннем радиусе $n = \frac{N}{2\pi R_1}$, то можно записать

$$B = \frac{\mu_0 NI}{2\pi r} = \frac{\mu_0 NI}{2\pi R_1} \frac{R_1}{r} = \mu_0 n I \left(\frac{r-x}{r} \right) = \mu_0 n I \left(1 - \frac{x}{r} \right), \text{ где } 0 < x < d. \text{ Так как } x < d \ll R_1 < r, \text{ то мож-}$$

но приближенно считать индукцию постоянной внутри тороида $B \approx \mu_0 n I$.

Опыт показывает, что в веществе магнитное поле изменяется по сравнению с магнитным полем в вакууме \vec{B}_0 . Всякое вещество является *магнетиком*, т.е. способно под действием магнитного поля приобретать магнитные свойства (намагничиваться). При этом вещество создаёт собственное магнитное поле \vec{B}' , поэтому по принципу суперпозиции в веществе

$$\vec{B} = \vec{B}_0 + \vec{B}'.$$

На микроскопическом масштабе внутри вещества магнитное поле сильно изменяется и в пространстве и во времени, поэтому при описании рассматриваются *усреднённые величины*. По классическому представлению, предложенному Ампером, в веществе циркулируют микроскопические круговые токи (атомарные и молекулярные токи), каждый из которых создаёт в окружающем пространстве магнитное поле. В отсутствие внешнего магнитного поля магнитные моменты этих токов ориентированы хаотически и их векторная сумма в физически малом объёме равна нулю. При внесении магнетика в магнитное поле магнитные моменты микроскопических токов ориентируются в определённом направлении, поэтому в целом суммарный дипольный момент такого объёма уже не равен нулю.

Для характеристики магнитных свойств вещества вводят *вектор намагниченности вещества* – усреднённый суммарный магнитный момент единицы (физически малого) объёма

$$\vec{J} = \frac{\sum \vec{p}_m}{\Delta V},$$

единицы измерения величины намагниченности – А/м (Ампер/метр).

Рассмотрим в веществе теорему о циркуляции $\text{rot}(\vec{B}) = \mu_0 \vec{J}_{\Sigma}$. Суммарное магнитное поле

$\vec{B} = \vec{B}_0 + \vec{B}'$ создаётся суммарной плотностью тока – векторной суммой микроскопических (ато-

марных и молекулярных) токов и макроскопических токов (вызванных переносом сторонних

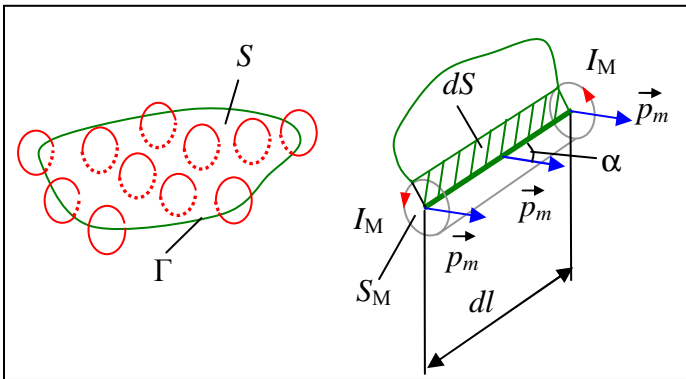
зарядов – их называют *токами проводимости* или сторонними токами)

$$\vec{J}_\Sigma = \vec{J}_M + \vec{J}_{CT}.$$

Так как $rot(\vec{B}_0) = \mu_0 \vec{J}_{CT}$ и

$rot(\vec{B}') = \mu_0 \vec{J}_M$, то из выражения

$rot(\vec{B}) = \mu_0 (\vec{J}_M + \vec{J}_{CT})$ следует, что для оп-



ределения магнитной индукции в веществе, надо знать плотность молекулярных токов.

Оказывается, для вектора намагниченности вещества справедливо соотношение $rot(\vec{J}) = \vec{j}_M$.

Вывод соотношения $rot(\vec{J}) = \vec{j}_M$.

Выделим внутри вещества (магнетика) какую-то ориентированную (незамкнутую) поверхность S и найдем поток плотности молекулярного тока через эту поверхность

$\Phi_{j_M} = \iint_S (\vec{j}_M, d\vec{S})$. Те молекулярные токи, которые не охватывают край этой поверхности, бу-

дут пронизывать эту поверхность дважды – в прямом и обратном направлении, поэтому их

вклад в поток равен нулю $\iint_{S_{внутр}} (\vec{j}_M, d\vec{S}) = 0$.

Для рассмотрения потока от токов, охватывающих край, выделим настолько малую часть поверхности с примыкающим краем, чтобы все молекулярные токи, которые охватывают край можно было считать одинаково ориентированными. Пусть длина граничной линии этой части равна dl . Предположим, что векторы магнитных моментов молекулярных токов направлены под углом α к этой части граничной линии. Выделим косой цилиндр, осью которого является часть граничной линии, а основанием – молекулярный круговой ток, площадь контура которого S_M . Этот цилиндр отсекает от поверхности S кусок, площадь которого dS . Тогда поток плотности молекулярного тока через этот кусок dS равен суммарному молекулярному току всех круговых токов, попавших в цилиндр

$$\Phi_{j_M} = \iint_{dS} (\vec{j}_M, d\vec{S}) \approx (\vec{j}_M, d\vec{S}) = \sum_{\text{ЦИЛИНДР}} I_M.$$

Объем цилиндра $V = S_M dl \cos \alpha$, сумма проекций векторов магнитных моментов на ось цилинд-

ра $\sum_{\text{ЦИЛИНДР}} p_m \cos \alpha = \sum_{\text{ЦИЛИНДР}} I_M S_M \cos \alpha = S_M \cos \alpha \sum_{\text{ЦИЛИНДР}} I_M$. Так как $\vec{J} = \frac{\sum \vec{p}_m}{V}$, то

$$J \cos \alpha = \frac{\sum_V p_m \cos \alpha}{V} = \frac{S_M \cos \alpha \sum_{\text{ЦИЛИНДР}} I_M}{S_M dl \cos \alpha} = \frac{1}{dl} \sum_{\text{ЦИЛИНДР}} I_M.$$

Поэтому вблизи края поверхности можно записать равенство

$$J dl \cos \alpha = \sum_{\text{ЦИЛИНДР}} I_M = (\vec{j}_M, d\vec{S}) \text{ или } (\vec{J}, d\vec{l}) = (\vec{j}_M, d\vec{S}),$$

где dS – часть поверхности вблизи края. Соответственно, вдоль всего её края Γ

$$\oint_{\Gamma} (\vec{J}, d\vec{l}) = \iint_{S_{\text{КРАЙ}}} (\vec{j}_M, d\vec{S})$$

Но всю поверхность S можно разбить на две части $S = S_{\text{КРАЙ}} + S_{\text{ВНУТР}}$. Так как $\iint_{S_{\text{ВНУТР}}} (\vec{j}_M, d\vec{S}) = 0$,

то можно записать равенство

$$\oint_{\Gamma} (\vec{J}, d\vec{l}) = \iint_{S_{\text{КРАЙ}}} (\vec{j}_M, d\vec{S}) + \iint_{S_{\text{ВНУТР}}} (\vec{j}_M, d\vec{S}) = \iint_S (\vec{j}_M, d\vec{S})$$

т.е. циркуляция вектора намагниченности вдоль края любой ориентированной поверхности внутри магнетика равна потоку плотности молекулярного тока через эту поверхность.

Используя теорему Стокса $\oint_{\Gamma} (\vec{J}, d\vec{l}) = \iint_S (\text{rot}(\vec{J}), d\vec{S})$ можно переписать это равенство в виде

$$\iint_S (\text{rot}(\vec{J}), d\vec{S}) = \iint_S (\vec{j}_M, d\vec{S})$$

откуда следует *дифференциальная форма* теоремы о циркуляции $\text{rot}(\vec{J}) = \vec{j}_M$. ♣

Подставив это соотношение в равенство $\text{rot}(\vec{B}) = \mu_0 (\vec{j}_M + \vec{j}_{\text{СТ}})$, получим

$$\text{rot} \left(\frac{\vec{B}}{\mu_0} \right) = \text{rot}(\vec{J}) + \vec{j}_{\text{СТ}} \text{ или } \text{rot} \left(\frac{\vec{B}}{\mu_0} - \vec{J} \right) = \vec{j}_{\text{СТ}}.$$

Ведём вектор напряжённости магнитного поля

$$\vec{H} = \frac{\vec{B}}{\mu_0} - \vec{J}$$

(единицы измерения А/м (Ампер/метр)), тогда для вектора напряжённости магнитного поля получаем теорему *о циркуляции вектора напряженности магнитного поля в дифференциальной форме*

$$\text{rot}(\vec{H}) = \vec{j}_{\text{СТ}}$$

откуда можно получить теорему *о циркуляции вектора напряженности магнитного поля* в ин-

тегральной форме. Пусть $\sum_k I_{\text{СТ}_k} = \iint_S (\vec{j}_{\text{СТ}}, d\vec{S})$ - алгебраическая сумма сторонних токов (токов

проводимости), пронизывающих некоторую незамкнутую ориентированную поверхность внутри магнетика, тогда

$$\oint_{\Gamma} (\vec{H}, d\vec{l}) = \sum_k I_{CT_k},$$

т.е. циркуляция вектора напряжённости магнитного поля вдоль края любой ориентированной поверхности внутри магнетика равна алгебраической сумме токов проводимости через эту поверхность.

Правило знаков для тока остаётся прежним: если направление тока через площадку составляет с вектором нормали к площадке угол, меньший 90° , то знак положительный, если больше – то отрицательный.

В однородном изотропном магнетике (для слабых полей) векторы намагничённости и напряжённости совпадают по направлению

$$\vec{J} = \chi \vec{H},$$

где безразмерный коэффициент χ носит название *магнитная восприимчивость вещества*.

Поэтому выражение $\vec{H} = \frac{\vec{B}}{\mu_0} - \vec{J}$ в однородном изотропном магнетике можно записать в виде

$$\vec{B} = \mu_0 (\vec{H} + \vec{J}) = \mu_0 (\vec{H} + \chi \vec{H}) = \mu_0 (1 + \chi) \vec{H}$$

Величину $\mu = 1 + \chi$ имеет название *относительная магнитная проницаемость вещества*.

Поэтому в однородном изотропном магнетике для индукции поля и напряжённости

$$\vec{B} = \mu_0 \mu \vec{H}.$$

Магнитные свойства магнетиков.

Экспериментальные данные свидетельствуют о том, что все магнетики можно (условно) разделить на три группы.

1) *Диамагнетики* – это магнетики, у которых магнитная восприимчивость принимает отрицательные значения, но при этом выполняется $0 < \mu = 1 + \chi < 1$.

Так как $\vec{J} = \chi \vec{H} = \chi \left(\frac{\vec{B}}{\mu_0} - \vec{J} \right)$, откуда $\vec{J} = \frac{\chi}{1 + \chi} \cdot \frac{\vec{B}}{\mu_0}$, то у диамагнетиков вектор намагничённости

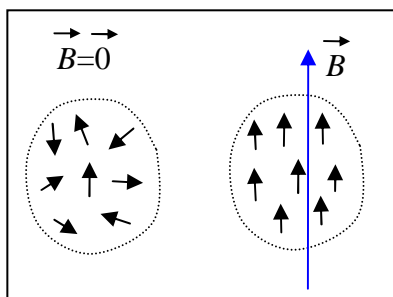
направлен против вектора индукции магнитного поля.

Диамагнетики выталкиваются из области сильного магнитного поля.

2) *Парамагнетики* – магнетики, у которых у которых магнитная восприимчивость положительна, но не принимает больших значений. Вектор намагничённости сонаправлен с вектором индукции.

3) *Ферромагнетики* – вещества, магнитная проницаемость которых достигает больших значений (тысячи и более). Намагниченность ферромагнетиков зависит от их предыдущего состояния (гистерезис).

Физическая природа диа- и парамагнетизма.

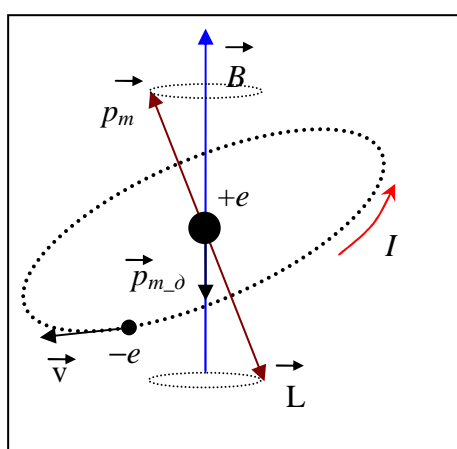


Согласно гипотезе Ампера магнитные свойства вещества обусловлены микроскопическими токами, циркулирующими внутри вещества. По классическим представлениям эти токи создаются движущимися зарядами в атомах. Классическое рассмотрение позволяет качественно объяснить магнитные свойства вещества без значительного усложнения модели, поэтому будем считать, что точечный отрицательно заряженный электрон движется по круговой орбите вокруг ядра.

Это приводит к появлению кругового тока, положительное направление которого противоположно направлению движения электрона. В магнитном поле магнитные моменты микроскопических токов ориентируются преимущественно вдоль силовой линии магнитного поля. На магнитный момент микроскопических токов в магнитном поле действует момент сил, поэтому орбита электрона начнет прецессировать, и появится дополнительный вектор магнитного момента $\vec{p}_{m\delta}$, направленный против вектора индукции \vec{B} .

Таким образом, при внесении атома в магнитного поле, у него появится дополнительный магнитный момент.

Если в отсутствии магнитного поля суммарный магнитный момент атома (сумма момента электронов и ядра) был нулевым, то после внесения в магнитное поле появившийся магнитный момент будет направлен против вектора индукции внешнего поля. Следовательно, и вектор намагниченности малого объема – тоже. Такие вещества относятся к классу диамагнетиков.



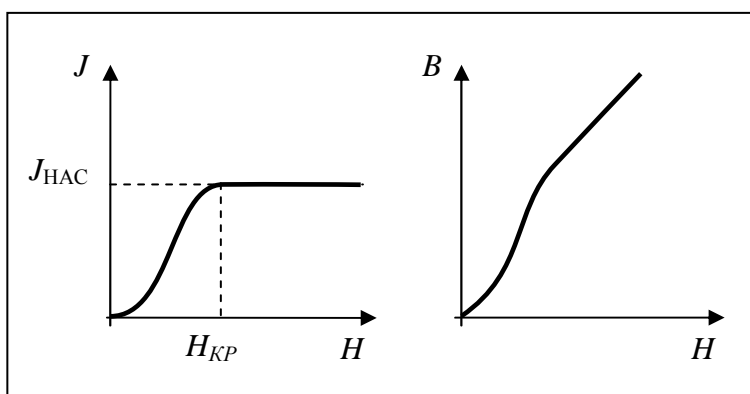
Пусть в отсутствии магнитного поля суммарный магнитный момент атома был ненулевым. Опыт показывает, что величина дополнительного момента меньше собственного момента атома, поэтому после внесения суммарный момент ориентируется вдоль силовой линии внешнего поля, и вектор намагниченности будет направлен по вектору индукции. Такие вещества относятся к классу парамагнетиков. Для парамагнетиков магнитная восприимчивость зависит от температуры по закону Кюри

$$\chi = \frac{C}{T},$$

C – постоянная Кюри, зависящая от рода вещества, T – температура.

Ферромагнетики – вещества, способные обладать намагниченностью в отсутствие внешнего магнитного поля. Типичный представитель – железо (а также никель, кобальт и сплавы на их основе). Величина намагниченности ферромагнетиков значительно превосходит намагниченность диа- и парамагнетиков.

У ферромагнетиков состояние намагниченности зависит от предыдущего состояния. Это явление называется магнитный *гистерезис* (от греческого слова, означающего «отстающий»).



При магнитном гистерезисе вектор намагничивания и вектор напряженности магнитного поля в веществе зависят не только от приложенного внешнего поля, но и от предыстории данного образца. Именно магнитным гистерезисом объясняется существование *постоянных магнитов*.

Пусть начальное намагничивание в ферромагнетике отсутствовало. Опыт показывает, что при увеличении напряженности магнитного поля намагниченность начинает нелинейно возрастать до некоторой величины – значения насыщения намагниченности.

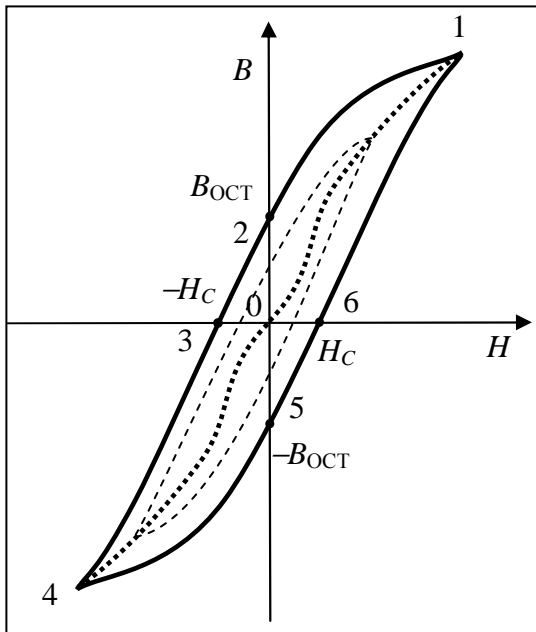
Следовательно, магнитная восприимчивость для ферромагнетиков зависит от величины напряженности $\chi = \frac{J}{H}$. При увеличении H величина χ стремится к нулю.

Суммарная индукция в веществе

$$\vec{B} = \mu_0 (\vec{H} + \vec{J})$$

тоже будет нелинейно зависеть от напряженности пока у намагниченности не наступит насыщения.

Рассмотрим процесс, в котором напряженность магнитного поля циклически изменяется. Если сначала намагничивания не было, то величина индукции поля увеличивается, например, до точки 1 по основной кривой намагничивания 0-1. Далее, при уменьшении напряженности зависимость $B(H)$ изображается кривой 1-2-3-4. Точке 2 соответствует нулевая напряженность внешнего магнитного поля, но при этом у вещества наблюдается остаточное магнитное поле величина индукции которого $B_{ост}$. Образец магнетика становится постоянным магнитом.



Для намагничивания образца потребуется создать магнитное поле (точка 3), вектор напряженности которого направлен в противоположном направлении вектору в состоянии 1. Величина такой напряженности называется *коэрцитивной силой* H_c . При дальнейшем увеличении напряженности индукция нелинейно возрастает до выхода на кривую насыщения (точка 4). Уменьшение напряженности приводит к зависимости $B(H)$, соответствующему участку кривой 4-5-6-1.

Таким образом, намагничивание ферромагнетика зависит от его предыдущего состояния (предыстории), поэтому зависимость $B(H)$ неоднозначная. Сле-

довательно, у ферромагнетиков понятие магнитной проницаемости относится только к основной кривой намагничивания 0-1.

Замкнутая кривая $B(H)$ называется петлей гистерезиса. Если крайние точки находятся на кривой насыщения, то петля называется предельной (максимальной).

Интеграл $A = \oint_{\text{ПЕТЛЯ}} B dH$ равен работе, затрачиваемой на перемагничивание ферромагне-

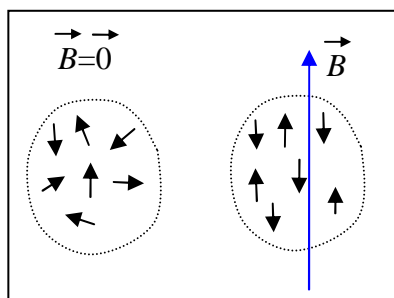
тика за полный цикл изменения напряженности магнитного поля.

Явление гистерезиса объясняется наличием у ферромагнетиков особых областей - *доменов*. В каждом домене, даже в отсутствие внешнего поля, магнитные моменты атомы ориентированы одинаково благодаря *обменному* взаимодействию между атомами и наблюдается спонтанное намагничивание вещества до состояния насыщения. Размеры доменов порядка микрометра ($\sim 10^{-6}$ м). При отсутствии намагниченности результирующие магнитные моменты каждого домена ориентированы хаотически, поэтому в целом суммарная намагниченность равна нулю. При наличии внешнего поля происходит ориентация доменов вдоль направления поля, в результате чего размеры областей спонтанного намагничивания начинают меняться – одни, направление моментов в которых совпадает с направлением поля, увеличиваются, другие уменьшаются. Этот процесс протекает *необратимым* образом, что является причиной гистерезиса.

Для ферромагнетиков существует температура, которая называется *точкой Кюри*, при которой они теряют ферромагнитные свойства и становятся парамагнетиками. Для железа $T_C=1043$ К, для Никеля $T_C=627$ К. При $T>T_C$ магнитная восприимчивость зависит от температу-

ры по закону Кюри-Вейса $\chi = \frac{C}{T - T_C}$.

Замечание. 1) *Антиферромагнетизм* - это одно из магнитных состояний вещества, при котором



магнитные моменты микроскопических токов вещества ориентированы навстречу друг другу (антипараллельно), и поэтому намагниченность тела в целом очень мала. Этим антиферромагнетизм отличается от ферромагнетизма. *Точка Неля* – температура T_N , выше которой антиферромагнетик теряет свои свойства.

Например, для химических соединений

$\text{FeO } T_N=190 \text{ К}$, а у $\text{NiO } T_N=650 \text{ К}$.

2) *Ферриты* - химические соединения оксида железа Fe_2O_3 с оксидами других металлов, обладающие уникальными магнитными свойствами, сочетающие высокую намагниченность и полупроводниковые или диэлектрические свойства, благодаря чему они получили широкое применение как магнитные материалы в радиотехнике, радиоэлектронике. Из-за уникального сочетания высоких магнитных свойств и низкой электропроводности ферриты не имеют конкурентов среди других магнитных материалов в технике высоких частот (более 100 кГц).